

08,10

## Влияние оксидов марганца и серебра на структурные и электрохимические свойства композитов с полианилином

© И.А. Лобов<sup>1</sup>, С.Н. Несов<sup>1,¶</sup>, Е.В. Князев<sup>1</sup>, С.А. Матюшенко<sup>1</sup>, К.Е. Ивлев<sup>1</sup>,  
Е.С. Земсков<sup>1</sup>, Е.А. Григорьев<sup>2</sup>

<sup>1</sup> Омский научный центр СО РАН,  
Омск, Россия

<sup>2</sup> Санкт-Петербургский государственный университет,  
Санкт-Петербург, Россия

¶ E-mail: nesov55@mail.ru

Поступила в Редакцию 5 ноября 2025 г.

В окончательной редакции 10 декабря 2025 г.

Принята к публикации 15 декабря 2025 г.

Представлен анализ структуры и электрохимических характеристик композитов, полученных путем химической полимеризации анилина в растворе HReO<sub>4</sub> в присутствии многостенных углеродных нанотрубок (МУНТ), предварительно декорированных слоями кристаллического оксида K<sub>x</sub>MnO<sub>2</sub> и наночастицами нестехиометрического оксида серебра (Ag<sub>2-x</sub>O). Исследование проводилось с применением методов растровой и просвечивающей электронной микроскопии и циклической вольтамперометрии. Показано, что наличие на поверхности МУНТ оксида K<sub>x</sub>MnO<sub>2</sub> обеспечивает формирование полианилина (ПАНИ), характеризующегося высокой скоростью протекания редокс-реакции лейкоэмальдин/эмальдин, а присутствие наночастиц Ag<sub>2-x</sub>O приводит к формированию полых микросфер ПАНИ с диаметром до ~ 500 nm и толщиной стенок ~ 10 nm. Это повышает скорость редокс-реакции п-бензохинон/гидрохинон, что отражается в увеличении удельной емкости материала до 417.1 F/g.

**Ключевые слова:** наноструктурированные композиты, электропроводные полимеры, окислительная полимеризация анилина, оксиды металлов, электронная микроскопия

DOI: 10.61011/FTT.2026.01.62589.312-25

### 1. Введение

Суперконденсаторы (СК) являются перспективными источниками электропитания устройств, потребляющих энергию в импульсном режиме (электронные замки, приводы, излучатели, реле, и т. д.). По сравнению с электролитическими конденсаторами СК характеризуются более высокой емкостью, а также обладают повышенными значениями удельной мощности в сравнении с литий-ионными аккумуляторами. Накопление заряда в традиционных СК реализуется за счет формирования двойного электрического слоя (ДЭС) на поверхности пористых углеродных электродов, помещенных в электролит, поэтому их часто называют двойнослойными СК (ДСК). Значительным недостатком ДСК является малая удельная плотность энергии, что ограничивает возможности применения ДСК в качестве источников постоянного питания [1–3].

Псевдоконденсаторы (ПК) являются особым видом СК, в которых один или оба электрода содержат активный компонент, на поверхности которого в процессе заряда/разряда протекают быстрые квазиобратимые окислительно-восстановительные реакции (или редокс-реакции). Емкость, связанную с протеканием таких реакций, принято называть псевдоемкостью [4]. С целью увеличения площади поверхности, на которой протекают редокс-реакции, в качестве электродных мате-

риалов ПК применяют пористые и наноструктурированные материалы. Таким образом, накопление заряда в ДЭС также вносит заметный вклад в общую емкость. ПК характеризуются более высокими значениями удельной энергии и емкости по сравнению с ДСК [1]. В качестве активного компонента в составе электродов ПК используют оксиды переходных металлов, а также электропроводящие полимеры [1,4].

Оксид марганца в различных формах является наиболее перспективным активным материалом для ПК благодаря высоким значениям теоретической емкости, относительной экологической безопасности и доступности. Кроме того, оксиды марганца, допированные щелочными металлами (K, Na и др.), обладают уникальной слоистой структурой, которая обеспечивает возможность быстрой интеркаляции ионов электролита в процессе заряда [5–7]. Существенным недостатком оксидных систем на основе марганца является сравнительно низкая электропроводность, что ограничивает скорость накопления и отдачи заряда. Решить данную проблему можно путем добавления в оксид марганца электропроводных металлов (Ag, Cu и др.) или их оксидов [8,9], а также путем формирования композитов с различными углеродными материалами, характеризующимися высокой удельной площадью поверхности (графен, углеродные нанотрубки (УНТ), углеродные нановолокна, технический углерод) [10,11]. В последнем случае кроме повышения

электропроводности, достигается также увеличение активной площади поверхности оксида металла вследствие его распределения по поверхности углеродной матрицы в виде слоев или наночастиц.

Среди электропроводящих полимеров в качестве электродного материала для ПК активно исследуется полианилин (ПАНИ). Данный полимер может существовать в виде форм с различной степенью окисления, переход между которыми обеспечивает накопление заряда. Несмотря на высокое значение теоретической удельной емкости ПАНИ (около 2000 F/g) [12], в „чистом“ виде он имеет низкую пластичность и механическую стабильность, что ограничивает возможности изготовления электродов СК на его основе. Комбинирование ПАНИ с различными видами высокодисперсного электропроводящего углерода позволяет получать материалы с необходимым набором технологических характеристик для производства электродов ПК, удельная емкость которых в водных неорганических электролитах находится в диапазоне  $10^2$ – $10^3$  F/g [13–15].

Немалый интерес вызывает возможность создания высокоемкостных материалов для ПК на основе ПАНИ и оксида марганца [16–18]. В частности, в работе [18] сообщалось, что композит на основе ПАНИ, оксида марганца и наночастиц Ag обладает удельной емкостью выше 500 F/g и высокой скоростной способностью. Авторы объяснили высокие характеристики композита синергетическим эффектом комбинированных редокс-процессов, протекающих с участием ПАНИ и оксида марганца, а также повышением электронной проводимости, обусловленной наличием наночастиц серебра.

В нашей предыдущей работе [19] были исследованы структура и электрохимические характеристики композита на основе многостенных УНТ (МУНТ) и слоистого оксида  $K_xMnO_2$ , допированного наночастицами  $Ag_{2-x}O$ , максимальная удельная емкость которого составила  $\sim 200$  F/g в водном электролите. В настоящей работе исследуется возможность получения материала, обладающего более высокими электрохимическими характеристиками, путем осаждения на поверхность указанного композита наноразмерных слоев ПАНИ.

## 2. Эксперимент

### 2.1. Анализ структуры и состава композитов

Исследование морфологии композитов проводилось методом растровой электронной микроскопии (РЭМ) с использованием микроскопа ZEISS MERLIN. Изображения исследуемых образцов были получены в режиме регистрации вторичных электронов с использованием детектора с энергетическим фильтром вторичных электронов для исследованияnanoструктурных материалов (режим „InLens“), а также в режиме регистрации обратно рассеянных электронов (режим „AsB“) для визуализации композиционного контраста, основанного на различиях коэффициента отражения электронов для

компонентов с разной плотностью. Элементный состав материалов исследовался методом энергодисперсионного рентгеновского анализа (ЭДА) с применением растрового электронного микроскопа Jeol JSM-6610 LV с энергодисперсионным анализатором IncaX-Act при значении ускоряющего напряжения 20 kV.

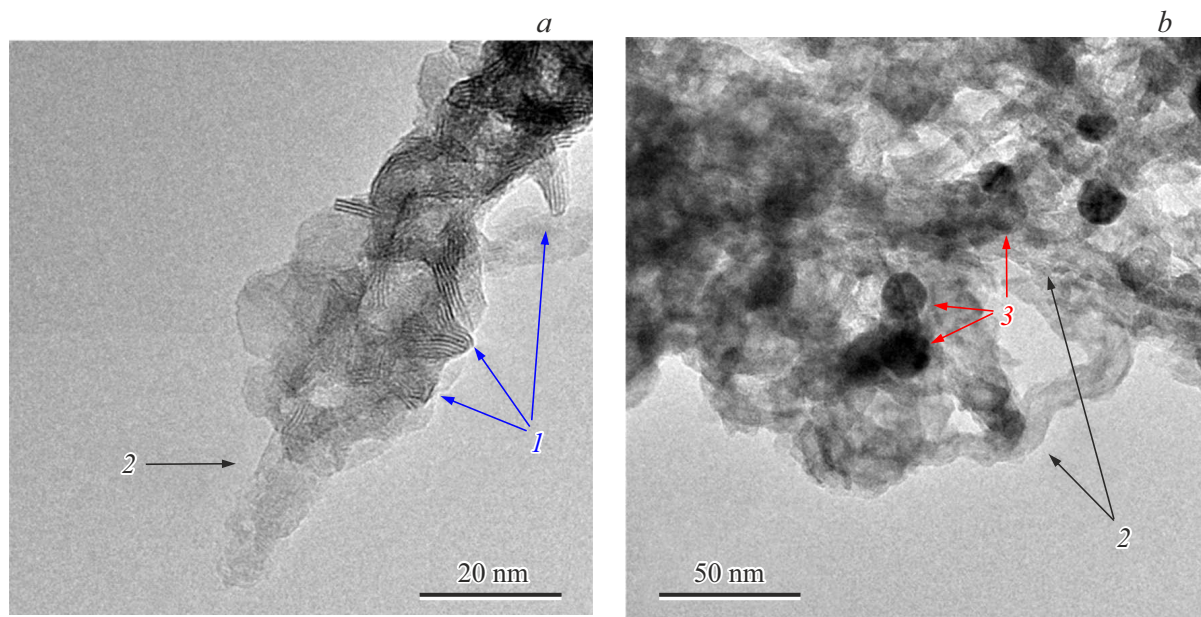
Анализ структуры и морфологии композитов методом просвечивающей электронной микроскопии (ПЭМ) был проведен с использованием микроскопов Jeol JEM-2100 и Zeiss Libra200FE в режиме светлопольного изображения при ускоряющем напряжении 200 kV.

### 2.2. Синтез „первичных“ композитов

В настоящей работе в качестве углеродной основы композитов применялись МУНТ со средним диаметром  $\sim 7$ – $10$  nm, которые были синтезированы методом каталитического газофазного осаждения (МУНТ-1, ИК СО РАН, Новосибирск) [20]. Синтез „первичных“ композитов проводился путем обработки МУНТ в растворе  $KMnO_4$  при температуре 60 °C и постоянном перемешивании. Для допирования композита оксидом серебра в реакционный раствор добавляли  $AgNO_3$ . Время синтеза композитов составляло 6 h. Детально условия синтеза были описаны в нашей предыдущей работе [19]. Для краткости изложения недопированный и допированный Ag композиты обозначим как K1 и K2 соответственно.

### 2.3. Синтез композитов с ПАНИ

„Первичные“ композиты K1 и K2 были использованы в качестве основы для формирования композитов с ПАНИ, синтез которых проводился методом химической окислительной полимеризации анилина в 1M  $HReO_4$ . Непосредственно перед синтезом „первичные“ композиты диспергировались ультразвуком в течение 30 min в растворе рениевой кислоты. Далее к этой суспензии добавлялся анилин в количестве 10 к 1 по отношению к „первичному“ композиту. Для иницииации реакции полимеризации отдельно приготавливается водный раствор персульфата аммония (ПСА). Анилин и ПСА брались в эквимолярном соотношении. Оба раствора охлаждались на ледяной бане, после чего раствор, содержащий ПСА, по каплям добавлялся к раствору с анилином при постоянном перемешивании. Далее раствор перемешивался с постоянной скоростью при температуре 0 °C в течение 1 h. Продукты реакции отмывались водой, этиловым спиртом и ацетоном для удаления непрореагировавших компонентов с дальнейшей сушкой при 60 °C и 1 Pa до постоянной массы. Композиты с ПАНИ, полученные на основе недопированного (K1) и допированного Ag (K2) „первичных“ композитов, были обозначены как P@K1 и P@K2 соответственно. По описанной методике был синтезирован также композит на основе исходных МУНТ (P@CNT), который использовался в качестве образца сравнения при анализе электрохимических характеристик.



**Рис. 1.** ПЭМ-изображения композитов К1 (а) и К2 (б). Цифрами обозначены: 1 — кристаллиты  $K_xMnO_2$ ; 2 — МУНТ, покрытые слоем  $K_xMnO_2$ ; 3 — наночастицы  $Ag_{2-x}O$ .

Традиционно химическая полимеризация анилина проводится в присутствии  $HCl$ , которая является достаточно сильной кислотой и может привести к растворению оксидов марганца и серебра на поверхности МУНТ в „первичных“ композитах. Ввиду этого при синтезе композитов с ПАНИ вместо соляной кислоты использовалась менее сильная рениевая кислота. Значение показателя константы кислотности ( $pK_a$ ) для  $HCl$  и  $HReO_4$  составляют  $-5.9$  и  $-1.25$ , соответственно. Кроме этого, соединения Re известны своей каталитической активностью [21], что может обеспечить более активное взаимодействие полимера с металлами и их оксидами в формируемых композитах.

#### 2.4. Анализ электрохимических характеристик

Электроды формировались путем прессования полученных композитов с ПАНИ при давлении около  $5\text{ MPa}$  без добавления связующего вещества. Измерения проводились методом циклической вольтамперометрии (ЦВА) по трехэлектродной схеме с платиновым противоэлектродом и хлоридсеребряным электродом сравнения в электролите  $1\text{ M HCl}$ . Для определения удельной емкости использовались данные ЦВА в диапазоне потенциала от  $0$  до  $0.8\text{ V}$  при скорости развертки потенциала от  $1$  до  $10\text{ mV/s}$ . При расчете электрохимических характеристик использовался метод преобразования энергии [22].

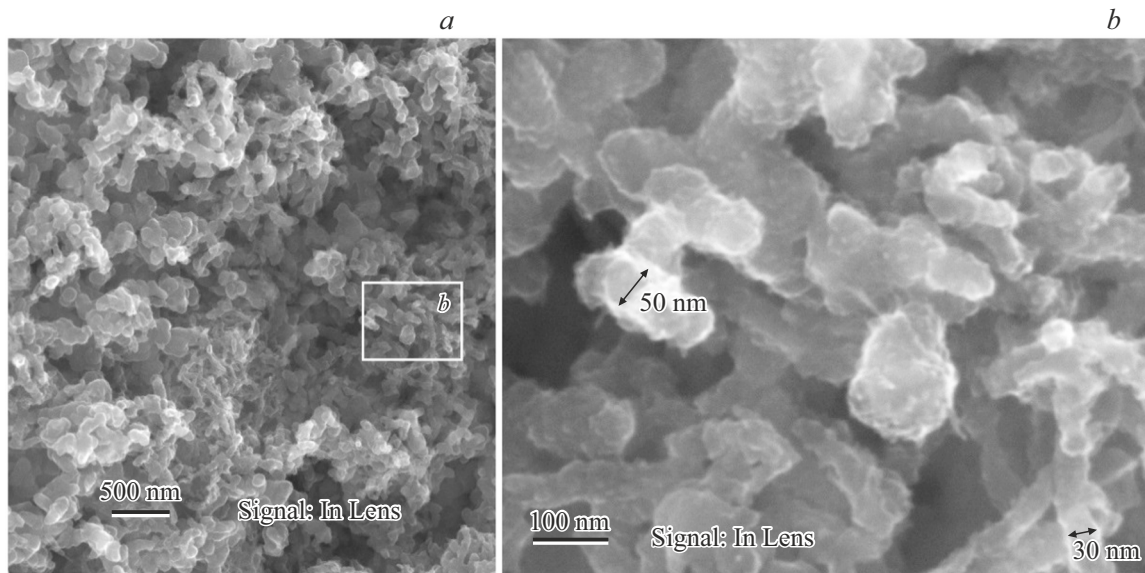
### 3. Результаты и обсуждение

#### 3.1. Структура и состав композитов

В „первичном“ композите К1 (рис. 1, а) поверхность МУНТ покрыта кристаллитами, которые ранее с применением комплекса методов были идентифицированы как кристаллиты  $K_xMnO_2$  [19]. Композит К2 обладает схожей структурой, однако в нем дополнительно присутствуют наночастицы нестехиометрического оксида  $Ag_{2-x}O$  с характерными размерами до  $\sim 15\text{ nm}$  (рис. 1, б). Содержание серебра в композите К2 по данным рентгеновской фотоэлектронной спектроскопии составляет  $\sim 1\text{ at.\%}$  [19].

Анализ серии РЭМ-изображений композита Р@К1 показал, что он обладает однородной морфологией (см. рис. 2). Наблюдается наличие трубчатых структур с характерным диаметром до  $\sim 50\text{ nm}$ , которые, очевидно, являются МУНТ, поверхность которых покрыта слоем ПАНИ. По оценкам, толщина слоя ПАНИ достигает  $\sim 20\text{ nm}$ . Непокрытые полимером МУНТ в композите отсутствуют.

Анализ РЭМ-изображений композита Р@К2 показал, что его морфология неоднородна (рис. 3). Наблюдается наличие двух типов структурных образований. Первый тип — это трубчатые структуры, подобные присутствующим в композите Р@К1. Оценка характерных размеров трубчатых структур (до  $\sim 110\text{ nm}$ ) позволяет говорить, что в композите Р@К2 толщина слоев ПАНИ на поверхности МУНТ достигает  $\sim 50\text{ nm}$ . Второй тип структурных образований, присутствующих в композите Р@К2 — сфероподобные структуры (микросфера),



**Рис. 2.** РЭМ-изображения композита P@K1, полученные в режиме „InLens“.

характерный диаметр которых находится в диапазоне  $\sim 200\text{--}500\text{ nm}$  (рис. 3). Некоторые из указанных микросфер имеют хорошо различимые отверстия с диаметрами от нескольких десятков до  $\sim 100\text{ nm}$ , через которые просматривается их полая структура (рис. 3, a). Более высокая яркость микросфер по сравнению с трубчатыми структурами на РЭМ-изображениях, полученных в режиме „AsB“ (рис. 3, d), позволяет говорить о более высокой плотности полимера в составе микросфер. Это может быть обусловлено его допированием серебром или его соединениями. Формирование схожих сферических образований при синтезе ПАНИ в присутствии металлов (Ag, Au) описано в литературе [23,24]. Однако механизмы роста полых сферических структур ПАНИ остаются неисследованными.

Для сравнения количественного элементного состава композитов с использованием метода ЭДА проводилось усреднение результатов, полученных на пяти различных участках размером  $200 \times 200\text{ }\mu\text{m}$ . Типичные спектры композитов P@K1 и P@K2 представлены на рис. 4, a и рис. 4, b, соответственно. Было обнаружено, что в обоих композитах с ПАНИ полностью отсутствуют марганец и калий (рис. 4, a и рис. 4, b, таблица). Это свидетельствует о растворении оксида  $\text{K}_x\text{MnO}_2$ , присутствующего на поверхности МУНТ в „первичных“ композитах, в процессе полимеризации анилина. В спектрах ЭДА композита P@K2 присутствуют линии Ag (рис. 4, b и рис. 4, c), средняя концентрация которого составляет  $\sim 0.7\text{ at.\%}$  (таблица). При этом на спектрах ЭДА для участков со скоплением микросфер интенсивность линий Ag значительно выше (рис. 4, c). На основе представленных результатов можно утверждать, что именно наночастицы нестехиометрического оксида  $\text{Ag}_{2-x}\text{O}$ , присутствующие

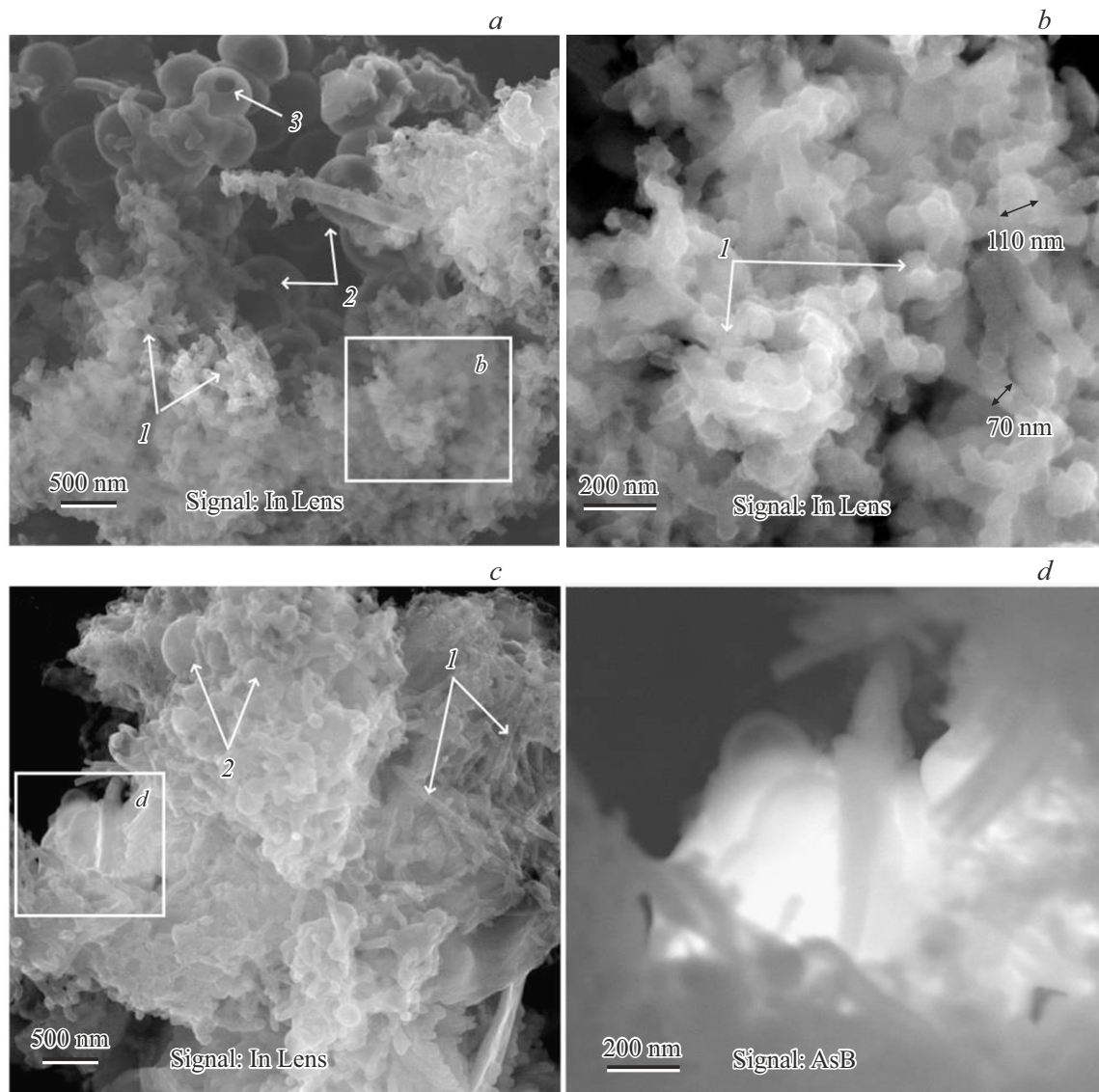
в составе „первичного“ композита K2, могут являться центрами формирования микросфер в композите P@K2.

Соотношение концентраций углерода и азота в композитах P@K1 и P@K2 характерно для ПАНИ. Присутствующий в составе обоих композитов Re указывает на допирование полимера рениевой кислотой. Наличие серы и кислорода связано с остатками продуктов реакции персульфата аммония, используемого при полимеризации анилина в качестве окислителя [15].

Анализ ПЭМ-изображений показал, что в составе композита P@K1 слой ПАНИ, сформированный на поверхности МУНТ, обладает однородной аморфной структурой и не содержит плотных наночастиц (рис. 5). Хорошо видно, что кристаллиты  $\text{K}_x\text{MnO}_2$  отсутствуют и на поверхности МУНТ (рис. 5, c). Это подтверждает полное растворение кристаллитов  $\text{K}_x\text{MnO}_2$  в процессе полимеризации анилина.

Анализ ПЭМ-изображений трубчатых структур в композите P@K2 (рис. 6) позволяет говорить, что в данном случае на поверхности МУНТ присутствуют слои ПАНИ с большей толщиной (по сравнению с композитом P@K1). Характерная толщина слоя ПАНИ составляет  $\sim 20\text{--}30\text{ nm}$ . В толще слоя полимера наблюдается наличие фрагментарно распределенных плотных наночастиц с размерами порядка нескольких nm (рис. 6, c), которые, в соответствии с данными ЭДА, наиболее вероятно, содержат атомы серебра.

Анализ ПЭМ-изображений микросфер, присутствующих в композите P@K2, подтверждает наличие в них внутренних полостей (рис. 7). По нашим оценкам, толщина стенок микросфер составляет  $\sim 10\text{ nm}$ . Наблюдаемые различия контраста на стенках сфер могут быть связаны как с флуктуациями толщины слоя полимера, так и с локальными различиями их структуры и состава.



**Рис. 3.** РЭМ-изображения композита P@K2, полученные в режимах „InLens“ (a–c) и „AsB“ (d). Цифрами обозначены: 1 — трубчатые структуры (МУНТ, покрытые ПАНИ); 2 — микросфера; 3 — отверстие в стенке микросферы.

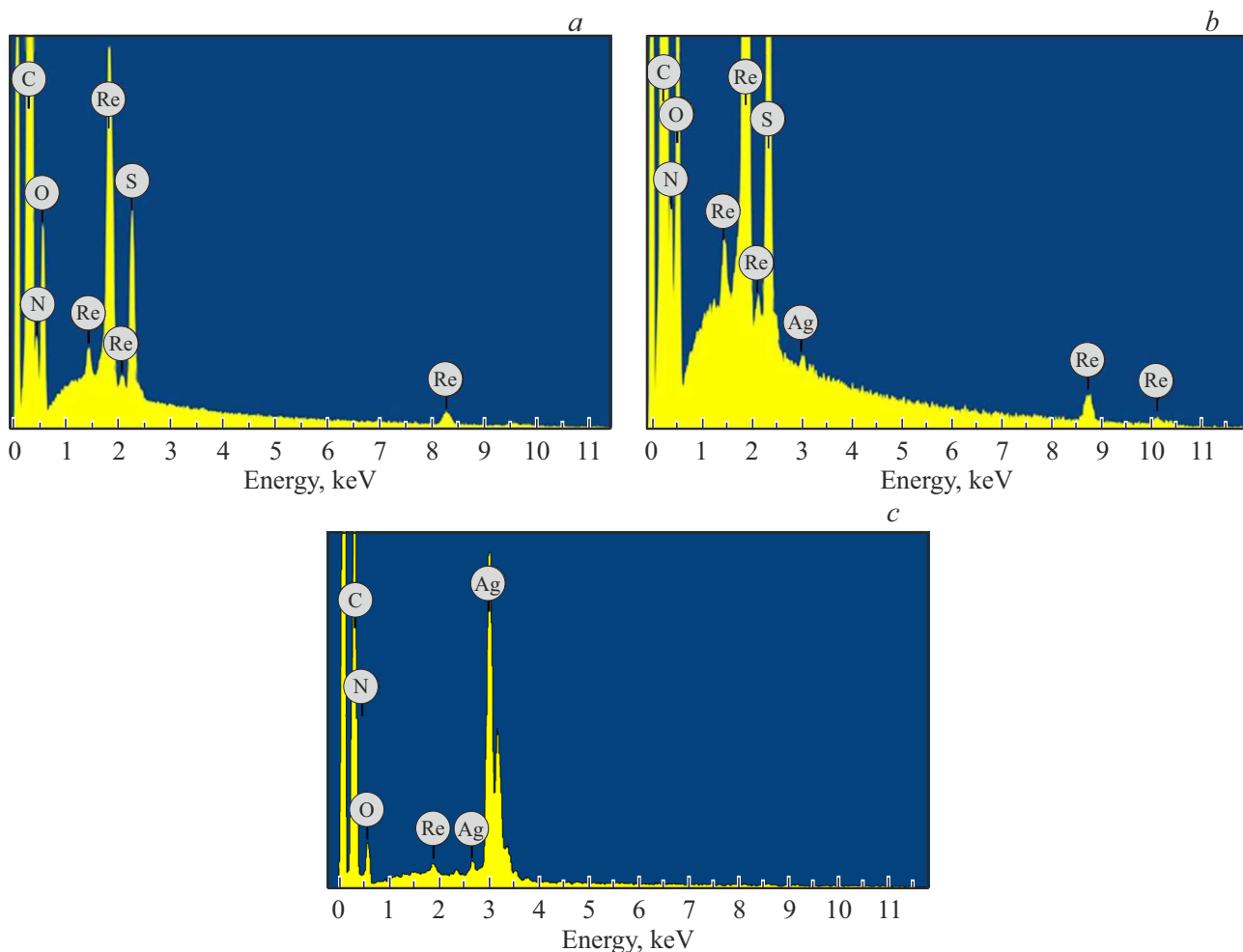
Состав композитов по данным ЭДА (среднее значение по 5 участкам)

Композит	Концентрация, ат.%					
	C	N	O	S	Re	Ag
P@K1	75.9 ± 0.86	13.5 ± 0.62	8.4 ± 0.28	1.1 ± 0.05	1.1 ± 0.05	—
P@K2	75.8 ± 2.79	13.0 ± 1.48	8.4 ± 2.84	1.2 ± 0.41	0.9 ± 0.17	0.7 ± 0.22

На некоторых участках стенок микросфер присутствуют скопления плотных наночастиц (рис. 7, c), которые, предположительно, содержат атомы серебра. Отдельные микросфера на РЭМ-изображениях не являются полностью замкнутыми (рис. 7, b).

Полученные данные о структуре и составе композитов с ПАНИ (P@K1 и P@K2) показали, что, вопреки

нашим ожиданиям, оксид  $K_x MnO_2$ , присутствующий на поверхности МУНТ в „первичных“ композитах, оказался неустойчивым в условиях полимеризации анилина с применением рениевой кислоты. Метод ЭДА не зафиксировал присутствия атомов марганца и калия в композитах P@K1 и P@K2. Мы полагаем, что оксид  $K_x MnO_2$  в кислой среде также может участвовать в



**Рис. 4.** ЭДА-спектры композитов P@K1 (a) и P@K2 (b), измеренные на участках размером  $200 \times 200 \mu\text{m}$  и ЭДА-спектр композита P@K2 (c), измеренный в точке, содержащей скопление микросфер (область, представленная на рис. 3, d).

качестве окислителя анилина в процессе окислительной полимеризации, что, в свою очередь, может значительно повлиять на электрохимическую активность ПАНИ. Показано, что наличие наночастиц нестехиометрического оксида серебра в „первичном“ композите K2 приводит к формированию полых микросфер ПАНИ с диаметрами до  $\sim 500 \text{ nm}$  и толщиной стенок  $\sim 10 \text{ nm}$ .

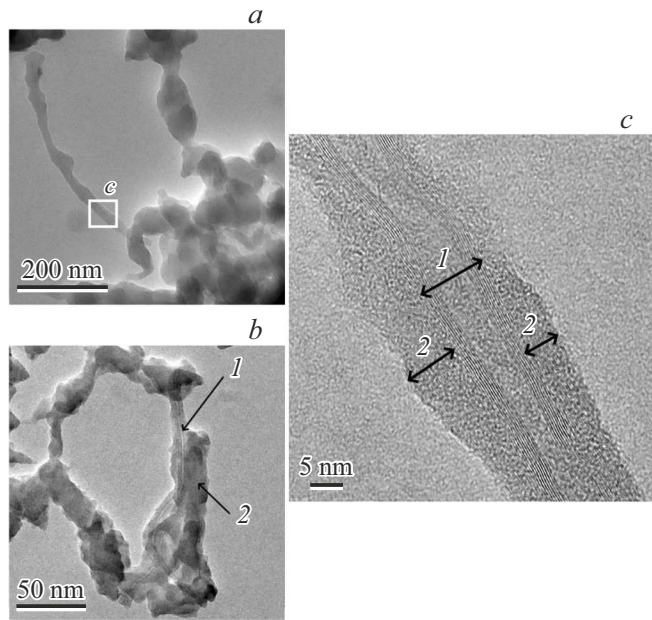
### 3.2. Электрохимические характеристики композитов

Циклические вольтамперограммы всех композитов имеют типичные для ПАНИ окислительно-восстановительные пики A/A' и B/B', соответствующие превращениям лейкоэмальдин/эмальдин и образованию пары *n*-бензохинон/гидрохинон, соответственно [15,25,26] (рис. 8, a). Однако на циклических вольтамперограммах композитов P@K1 и P@K2 эти пики смещены в область высоких значений потенциала (сдвиг составляет  $\sim 100$  и  $50 \text{ mV}$  для пиков A/A' и B/B', соответственно), что говорит об увеличении потенциала

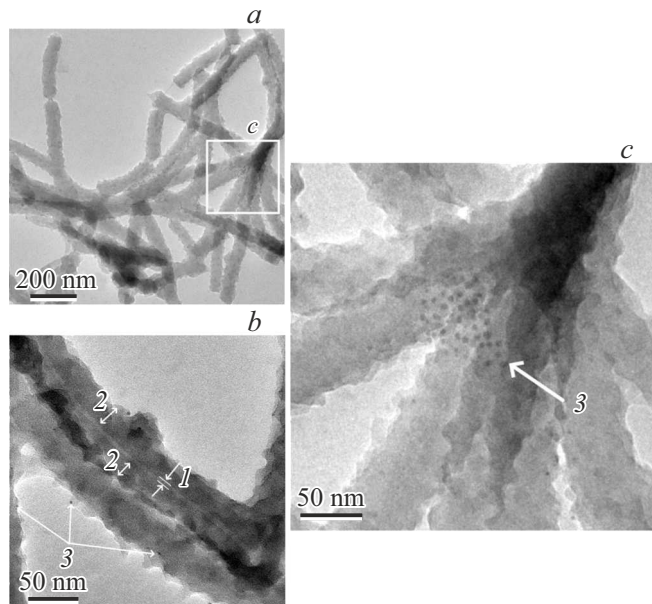
этих реакций по сравнению с композитом P@CNT. Это может быть связано с более окисленной формой ПАНИ, синтезированного в присутствии МУНТ, покрытых слоем  $\text{K}_x\text{MnO}_2$ .

При этом пиковые значения плотности тока для реакции окисления A практически вдвое выше для композитов P@K1 и P@K2 по сравнению с композитом P@CNT, что указывает на значительное увеличение скорости окисления лейкоэмальдина. Так как значения потенциала редокс-реакции A/A', а также пиковые значения плотности тока этой реакции для композитов P@K1 и P@K2 практически совпадают, мы полагаем, что эти изменения электрохимического поведения могут быть обусловлены влиянием оксида  $\text{K}_x\text{MnO}_2$ , который присутствует на поверхности МУНТ в обоих „первичных“ композитах, на структуру ПАНИ. Данный оксид в кислой среде может участвовать в реакции окисления анилина с восстановлением до хорошо растворимого оксида  $\text{Mn}^{2+}$ . Данное предположение согласуется с отсутствием марганца в результатах элементного анализа композитов P@K1 и P@K2.

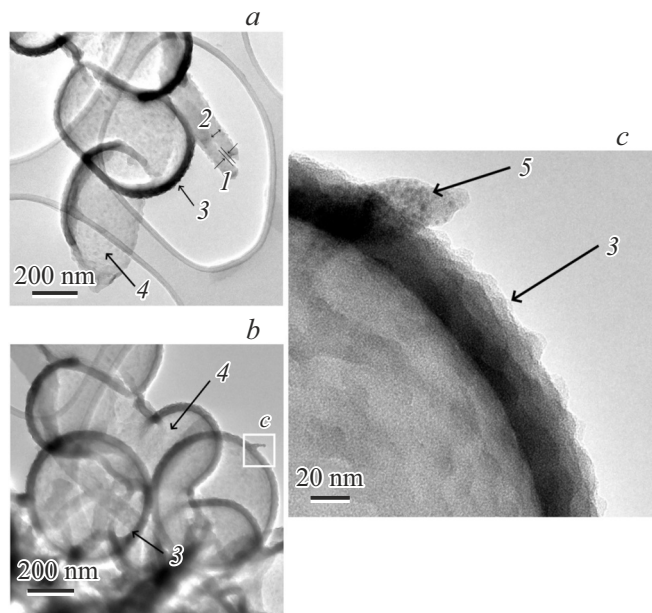
На ЦВА-кривой композита P@K2 пик А имеет заметное протяженное „плечо“ в области высоких значений потенциала, обозначенное как D (рис. 8, a). Мы полагаем, что данный пик может также отвечать реакции окисления лейкоэмERALдина, которая протекает на поверхности полимерных микросфер, присутствующих в композите P@K2. Повышение потенциала реакции



**Рис. 5.** ПЭМ-изображения композита P@K1 при различном увеличении. Цифрами обозначены: 1 — МУНТ; 2 — слой ПАНИ.



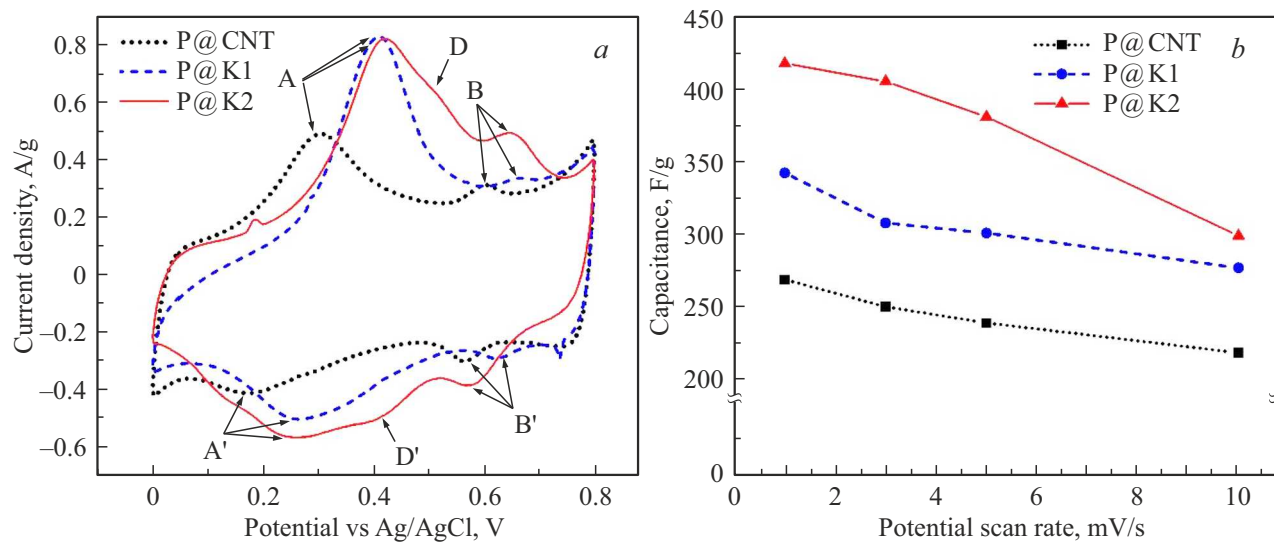
**Рис. 6.** ПЭМ-изображения трубчатых структур в составе композита P@K2. Цифрами обозначены: 1 — МУНТ; 2 — слой ПАНИ; 3 — плотные наночастицы



**Рис. 7.** ПЭМ-изображение микросфер в составе композита P@K2. Цифрами обозначены: 1 — МУНТ; 2 — слой ПАНИ на МУНТ; 3 — микросфера; 4 — микросфера с отверстиями в стенах; 5 — плотные наночастицы.

в данном случае может быть обусловлено более высоким контактным электросопротивлением на границе „сфера—сфера“ по сравнению с сопротивлением контакта „слой ПАНИ—поверхность МУНТ“. Окислительный пик В на вольтамперограмме композита P@K2 характеризуется более высоким пищевым значением плотности тока и расположен в более широком диапазоне потенциалов. Это также может быть обусловлено различием потенциала реакции окисления *n*-бензохинона на поверхности трубчатых и сферических структур, присутствующих в композите. При этом высокое пищевое значение плотности тока для пика В указывает на увеличение скорости окисления *n*-бензохинона в композите P@K2 по сравнению с композитом P@K1. Мы полагаем, что последнее может быть обусловлено эффектом размерности, а именно: наноразмерной толщиной ПАНИ в стенах микросфер. Ранее в работе [15] нами было показано, что формирование наноразмерных слоев ПАНИ приводит к значительному росту скорости редокс-реакции *n*-бензохинон/гидрохинон.

Зависимости удельной емкости ( $C_s$ ) от скорости развертки потенциала для исследуемых электродов представлены на рис. 8, b. Видно, что значения  $C_s$  для электродов на основе P@K1 и P@K2 значительно выше по сравнению с электродом на основе P@CNT. Максимальным значением удельной емкости ( $C_s = 417.1 \text{ F/g}$  при скорости развертки потенциала  $1 \text{ mV/s}$ ) обладает электрод на основе P@K2. Быстрое снижение удельной емкости для всех электродов обусловлено высоким вкладом редокс-процессов в накопление заряда.



**Рис. 8.** *a* — циклические вольтамперограммы композитов, измеренные при скорости развертки потенциала 1 мВ/с; *b* — зависимость удельной емкости композитов от скорости развертки потенциала.

#### 4. Заключение

В настоящей работе изучена возможность синтезаnanoструктурированных композитных материалов на основе ПАНИ и МУНТ, декорированных слоями кристаллического оксида  $K_xMnO_2$  и наночастицами  $Ag_{2-x}O$ , проведен анализ структуры и электрохимических свойств полученных материалов. При синтезе композитов полимеризация анилина проводилась с использованием рениевой кислоты в качестве допанта. Анализ элементного состава полученных композитов методом ЭДА не обнаружил наличия марганца или калия в их составе. Однако анализ электрохимических характеристик показал увеличение скорости протекания редокс-реакции лейкоэмeraldин/эмeraldин в полимере, сформированном на поверхности МУНТ, предварительно декорированных оксидом  $K_xMnO_2$ . Предположительно, оксид  $K_xMnO_2$  может выступать в качестве дополнительного окислителя анилина в процессе полимеризации. Наличие наночастиц  $Ag_{2-x}O$  приводит к формированию в композите надмолекулярных структурных образований ПАНИ в виде полых микросфер с толщиной стенок  $\sim 10$  нм. По данным РЭМ ПАНИ в составе стенок микросфер обладает высокой плотностью и содержит включения наночастиц, содержащих Ag. Анализ циклических вольтамперограмм показал, что наличие микросфер обеспечивает значительное повышение электрохимической активности материала за счет увеличения скорости редокс-реакции *n*-бензохинон/гидрохинон. Анализ электрохимических характеристик полученных композитов с ПАНИ показал, что предварительное декорирование поверхности МУНТ оксидом  $K_xMnO_2$  обеспечивает рост максимальной удельной емкости композитов на 27 %. Дополнительное допиривание „первичного“ композита

наночастицами  $Ag_{2-x}O$  обеспечивает рост максимальной удельной емкости на  $\sim 55$  %.

#### Благодарности

Исследования методом РЭМ проведены на нефинансовой основе с использованием оборудования Ресурсного центра „Нанотехнологии“ Санкт Петербургского государственного университета (проект ААА-А19-119091190094). Исследования методом ПЭМ проводились с применением оборудования Омского регионального центра коллективного пользования СО РАН.

#### Финансирование работы

Исследование выполнено в рамках государственного задания Омского научного центра Сибирского отделения Российской академии наук (номер гос. регистрации проекта 121021600004-7).

#### Конфликт интересов

Авторы заявляют, что у них нет конфликта интересов.

#### Список литературы

- [1] Ю.М. Волькович. Электрохимия **57**, 4, 197 (2021). DOI: 10.31857/S0424857021040101
- [2] M.E. Şahin, F. Blaabjerg, A. Sangwongwanich. Energies **15**, 3, 674 (2022). <https://doi.org/10.3390/en15030674>
- [3] M. Pershaanaa, Shahid Bashir, S. Ramesh, K. Ramesh. J. Energy Storage **50**, 104599 (2022). <https://doi.org/10.1016/j.est.2022.104599>
- [4] T. Prasankumar, J. Jose, S. Jose, S.P. Balakrishnan. In: Supercapacitors for the Next Generation. IntechOpen (2022). p. 154. DOI: 10.5772/intechopen.98600

- [5] M. Moharramnejad, A. Ehsani, R.E. Malekshah, M. Shahi, R. Bavandpour, H. Rajabi, S.M. Mojtabi. *J. Mater. Sci.: Mater. Electron.* **33**, 19693 (2022). <https://doi.org/10.1007/s10854-022-08828-z>
- [6] Е.А. Архипова, А.С. Иванов, С.К. Николенко, К.И. Маслаков, С.В. Савилов, С.М. Алдошин. *Журнал прикладной химии* **96**, 1, 4 (2023). DOI: 10.31857/S0044461823010012
- [7] S.N. Nesov, I.A. Lobov, S.A. Matyushenko, E.A. Grigoriev. *ECS J. Solid State Sci. Technol.* **13**, 101002 (2024). DOI: 10.1149/2162-8777/ad8517
- [8] M.U. Khalid, S. Zulfiqar, M.N. Khan, I. Shakir, M.F. Warsi, E.W. Cochran. *Mater. Adv.* **5**, 15, 6170 (2024). <https://doi.org/10.1039/d4ma00118d>
- [9] R. Ai, X. Zhang, S. Li, Z. Wei, G. Chen, F. Du. *Chem. Eur. J.* **30**, e202400791 (2024). DOI: 10.1002/chem.202400791
- [10] L. Chen, Y. Zhang, C. Hao, X. Zheng, Q. Sun, Y. Wei, B. Li, L. Ci, J. Wei. *ChemElectroChem* **9**, e202200059 (2022). DOI: 10.1002/celc.202200059
- [11] Z. Pan, C. Yang, Y. Li, X. Hu, X. Ji. *Chem. Eng. J.* **428**, 131138 (2022). DOI: 10.1016/j.cej.2021.131138
- [12] H. Li, J. Wang, Q. Chu, Z. Wang, F. Zhang, S. Wang. *J. Power Sources* **190**, 2, 578 (2009). DOI: 10.1016/j.jpowsour.2009.01.052
- [13] H. Yu, G. Xin, X. Ge, C. Bulin, R. Li, R. Xing, B. Zhang. *Compos. Sci. Technol.* **154**, 76 (2018). <https://doi.org/10.1016/j.compscitech.2017.11.010>
- [14] E.I. Yesilyurt, J. Pionteck, F. Simon, B. Voit. *RSC Appl. Polym.* **1**, 97 (2023). <https://doi.org/10.1039/D3LP00061C>
- [15] И.А. Лобов, С.Н. Несов, Е.А. Дроздова. *ФТТ* **66**, 9, 1591 (2024). DOI: 10.61011/FTT.2024.09.58785.188
- [16] S. Xi, X. Qian, X. Cheng, H. Liu, H. Shabanzadeh, D. Dastan. *iScience* **28**, 2, 111774 (2025). <https://doi.org/10.1016/j.isci.2025.111774>
- [17] S. Abbas, S. Manzoor, M. Abdullah, et al. *J. Mater. Sci.: Mater. Electron.* **33**, 25355 (2022). <https://doi.org/10.1007/s10854-022-09242-1>
- [18] C. Pan, Y. Lv, H. Gong, Q. Jiang, S. Miao, J. Liu. *RSC Adv.* **6**, 21, 17415 (2016). <https://doi.org/10.1039/c5ra18403g>
- [19] С.Н. Несов, И.А. Лобов, С.А. Матюшенко, Е.В. Князев, В.В. Болотов, Е.С. Земсков, Е.В. Жижин, А.В. Королева, Е.А. Григорьев. *ФТТ* **67**, 6, 1010 (2025). DOI: 10.61011/FTT.2025.06.60949.154-25
- [20] V.L. Kuznetsov, D.V. Krasnikov, A.N. Schmakov, K.V. Elumeeva. *Phys. Status Solidi B* **249**, 12, 2390 (2012). DOI: 10.1002/pssb.201200120
- [21] A. Olding, M. Tang, C.C. Ho, R.O. Fuller, A.C. Bissember. *Dalton Trans.* **51**, 8, 3004 (2022). <https://doi.org/10.1039/d1dt04205j>
- [22] С.А. Матюшенко, С.Н. Несов. *Динамика систем, механизмов и машин* **12**, 78 (2024)
- [23] N.M. Farrage, A.H. Oraby, E.M.M. Abdelrazek, D. Atta. *Biointerface Res. Appl. Chem.* **9**, 3, 3934 (2019). <https://doi.org/10.33263/BRIAC9.934941>
- [24] S. Abdulla, J. Dhakshanamoorthy, V.P. Dinesh, B. Pullithadathil. *J. Biosens. Bioelectron* **6**, 2 (2015). DOI: 10.4172/2155-6210.1000165
- [25] I.V. Panasenko, M.O. Bulavskiy, A.A. Iurchenkova, Y. Aguilar-Martinez, F.S. Fedorov, E.O. Fedorovskaya, B. Mikladal, T. Kallio, A.G. Nasibulin. *J. Power Sources* **541**, 231691 (2022). DOI: 10.1016/j.jpowsour.2022.231691
- [26] L. Sun, D. Miyagi, Y. Cai, A. Ullah, M.K. Haider, C. Zhu, M. Gopiraman, I.S. Kim. *J. Energy Storage* **61**, 106738 (2023). DOI: 10.1016/j.est.2023.106738

Редактор А.Н. Смирнов